

Holographic optics : Forcella - Marcelli - Amari

Analogia tra ottica e sp. tempo curvo : prendo una geodetica di luce ed entrambi sono la stessa.

VACUUM SPACETIME

$$\delta S[g_{\mu\nu}] = 0$$

E, B



FLAT

$$\delta S[M] = 0$$

MACRO FLAT

$$D_i = \epsilon_{ij} E_j$$

$$B_i = \mu_{ij} H_j$$

$$\epsilon_{ij} = \mu_{ij} = \sqrt{\frac{g_{ij}}{g_{00}}}$$

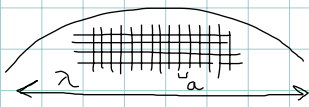
$$\Leftrightarrow m = g$$

GEOMETRIC OPTICS

MAXWELL WAVE EQUATIONS

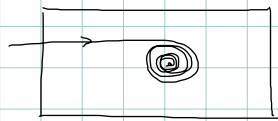
But $\epsilon_{ij} \neq \mu_{ij}$, $\mu_{ij} = 1$ x la maggior parte dei materiali \rightarrow difficile avere fenomeni esotici nei materiali

ADesso \rightarrow metamaterials (a scala abs piccola)



if $\lambda \gg a \rightarrow \epsilon, \mu$ efficaci

① PHOTONIC BLACK HOLES :



← APPLICATIONS

② INVISIBILITY

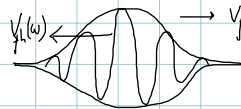


sto nascondendo il cubetto!

↪ No dissipazione, debole dispersione

Altri 2 effetti :

1) Negative refractive index (NRI)



NRI 1924

La v_f pare in una direzione e la v_g nell'altra!

1967: $m^2 = \epsilon\mu \rightarrow$ no dissipazione

$$n = \pm \sqrt{\epsilon\mu}$$

$$\left\{ \begin{array}{l} \epsilon > 0, \mu > 0 \rightarrow n = +\sqrt{\epsilon\mu} \\ \epsilon < 0, \mu < 0 \rightarrow n = -\sqrt{\epsilon\mu} \end{array} \right.$$

2001 \rightarrow effetto riprodotto sperimentalmente

Nella ph di alte energie, ci sono fenomeni che manifestano NRI ?

Si manifesta in:

- legge di Snell \rightarrow PUNO: idea, studiare QGP
- effetto Doppler \rightarrow eff. Doppler inverso, effetto Cherenkov inverso
- lensing \rightarrow perfect lensing (?)

- CLAIM :
- 1) il sistema sia descritto da correnti conservate : descrizione HYDRODINAMICA
 - 2) il mt idrodinamico è isotropo, omogeneo
 - 3) il sistema manifesta invarianza relativistica, temperatura finita $T \neq 0$ e densità di carica finita $\rho \neq 0$

ALLORA : il sistema sviluppa NRI per frequenze sufficientemente BASSE

Non ci si aspetta sia un fenomeno proprio dello strong coupling, ma più generico della hydrodyn. Lo verificheremo esplicitamente per strong coupling.

EM & risposta lineare:

Di solito: $\epsilon(\omega), \mu(\omega)$ } Con spatial dispersion $\Rightarrow E = B(+D) \xrightarrow{\text{such that}} D_i = \epsilon_{ij}(\omega k) E_j$
 E, B, H, D

$\mu(\omega)$ compare come effetto all'ordine k^2 di primo approccio.

$\epsilon_{ij}(\omega k) = P_{ij}^T \epsilon^T(\omega, k) + P_{ij}^L \epsilon(\omega, k)$ $P_{ij}^T = \delta_{ij} - \frac{k_i k_j}{k^2}$ $P_{ij}^L = \frac{k_i k_j}{k^2}$

RELATIONS DI DISPERS.

$\epsilon^T(\omega, k) = \frac{k^2}{\omega^2} = n^2$ $\epsilon^T = \epsilon(\omega) + \dots \rightarrow \frac{k^2}{\omega^2} \left(1 - \frac{1}{\mu(\omega)}\right) + \dots$

$\epsilon_L(\omega, k) = 0$ da $\epsilon(\omega)\mu(\omega) = \frac{k^2}{\omega^2} = n^2(\omega)$ $\hookrightarrow \bar{\epsilon}$ una μ_{eff} , (sul landau $\mu = \epsilon^T = \epsilon^L$)

Campo e.m. esterno A_j nel materiale. In regime lineare

la corrente è data da: $J_i = G_{ij} A_j$

$G_{ij}(x-x', t-t') = -i\Theta(t-t') \langle [J_i(x, t), J_j(x', t')] \rangle$

in trasformata di Fourier: $G(\omega, k) = P^T G^T + P^L G^L$

si trova, se l'approximazione è $qA_\mu J^\mu$

$\epsilon^L(\omega, k) = 1 - \frac{4\pi q^2}{\omega^2} G^L(\omega, k)$

$\epsilon^T(\omega, k) = 1 - \frac{4\pi q^2}{\omega^2} G^T(\omega, k)$

$\epsilon(\omega) = 1 - \frac{4\pi q^2}{\omega^2} G^O(\omega)$
 $\mu(\omega) = \frac{1}{1 + 4\pi q^2 G^O(\omega)}$

ONDA PIANA: $e^{i\omega t - ikx} = e^{i\omega(t - R_e(n)x)} e^{-\omega J_m(n)x}$

$k = n\omega$ $v_p(\omega) = 1/R_e(n)$

$\vec{S} = R_e \left[E^* \times B - \frac{\omega}{2} \frac{\partial \epsilon_{ij}}{\partial k} E_i^* E_j \right]$
 $= R_e \left[\frac{n}{\mu} \right] (E^T)^2 \frac{1}{k^2}$

Nota: il modo più semplice per fare NRI è:

$\epsilon(\omega) = 1 - \frac{\omega_p^2}{\omega^2}$
 $\mu(\omega) = 1 - \frac{\omega^2}{\omega^2}$

Def l'indice $n_{DL} = |\epsilon(\omega)| R_e(\mu(\omega)) + |\mu(\omega)| R_e(\epsilon(\omega)) < 0$ such that $n_{DL} < 0 \Leftrightarrow$ NRI

- se non c'è dissipazione, devono essere $\epsilon, \mu < 0$ entrambi, altrimenti n è immaginario.

- se c'è dissipazione, basta che uno abbia $R_e(\cdot) < 0$ e giusto $J_m(\cdot)$.

MAIN EXAMPLE

Metà idrodinamica con corrente J conservata t.c. $q J_\mu A^\mu$, con A_μ campo e.m. esterno

$\langle J^T J^T \rangle = \frac{i\omega B}{i\omega - Dk^2}$

\rightarrow è una vera funt di risp? 1) $D > 0$ | causalità: poli in $J_m(\omega) < 0$
 2) $B > 0$ | stabilità: ? $J_m(?) < 0$

trovo $\left\{ \begin{aligned} \epsilon(\omega) &= 1 - \frac{4\pi q^2}{\omega^2} B \\ \mu(\omega) &= \left[1 + \frac{4\pi q^2 i B D}{\omega} \right]^{2^{nd} \text{ in } q} \end{aligned} \right. \Rightarrow$ trovo $\omega^2 < 4\pi q^2 B \Leftrightarrow n_{DL} < 0$

esatto $= \left[1 - \frac{4\pi q^2 i B D}{\omega} \right]^{-1}$

\Downarrow
 NRI per ω abbastanza piccole!

che sistema ha queste proprietà? : Hydrodin. rel. $T \neq 0, p \neq 0$

$$\langle JJ \rangle = \frac{i\omega B}{i\omega - Dk^2} + P(k, \omega) \quad \text{e trovo} \quad B = \frac{\rho^2}{\epsilon + P} \quad D = \frac{\eta}{\epsilon + P}$$

suppongo

Notazioni
 ϵ densità d'energia
 P pressione
 η shear viscosity
 ρ densità di carica

- applicabile all'idrodinamica relativistica (QGP?)

- in th delle stringhe posso fare i calcoli anche fuori dal regime idrodinamico.

(Si trovano frequenze ~ microonde?)

Parte II : OPTICS \leftrightarrow AdS/CFT : negative refraction

• A calculable model $(\epsilon(\omega), \mu(\omega))$ using AdS/CFT : toy model

Ci servono: $T_{\mu\nu} \Rightarrow g_{\mu\nu} \rightarrow$ Einstein-Jarwell theory in 5D
 $J_\mu \Rightarrow A_\mu$

• Ho un background $T \neq 0, p \neq 0 \rightarrow$ Svelgo soluzione di BH carico in 5D (che dà la temperatura T e la p)

def $l =$ raggio

$\epsilon = 5D$ EM coupling
 $T, \Sigma \rightarrow$ potenziale chimico

metric ansatz

$$ds^2 = \frac{(2-a)^2 l^2}{16 b^2} \frac{1}{u} (dx^2 + f(u) dt^2) + \frac{l^2}{4} \frac{du^2}{u^2 f(u)}$$

con $u \rightarrow 0$ BD
 $u \rightarrow 1$ Horiz

$$\left\{ \begin{array}{l} f(u) = (1-u)(1+u-2au^2) \\ At = -\frac{u}{2b} \sqrt{\frac{3}{2}} a + \Sigma \end{array} \right. \quad T = \frac{2-a}{4\pi b} \quad 0 < a < 2$$

$$\Sigma = \frac{1}{2b} \sqrt{\frac{3}{2}} a$$

$$\langle J_\mu J_\nu \rangle = G_{\mu\nu}^R, \quad G_{\mu\nu}^R = q^2 G^A + q^4 G^B + \dots$$

Corrisp a tras. l'interazione em nel loop, con attenzione con l'approx di campo esterno.

e dovremo expandere $G_T^R = G_T^{(0)}(\omega) + k^2 G_T^{(2)}(\omega) + O(k^4)$

Facciamo il caso per charged 5D BH, troviamo:

$$\epsilon(\omega) = 1 + a^2 \frac{\omega^2}{b(1+a)} \left(\frac{1}{\omega} \frac{(2-a)^2}{2(1+a)} - \frac{1}{\omega^2} \frac{3a}{b} \right)$$

$$\mu(\omega) = 1 + q^2 \frac{i}{\omega} \frac{a}{2(1+a)b} + \dots$$

DIVERGENTE UV \rightarrow arbitrariness $C(\omega^2 - k^2)$ in G

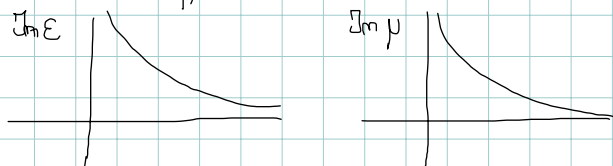
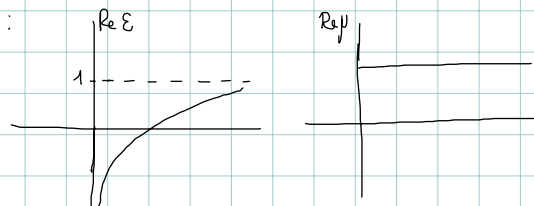
L'arbitrariness è eliminata imponendo che a grandi ω il sistema risponda come il vuoto alla perturbazione luminosa o che, analogamente:

$$\lim_{\omega \rightarrow \infty} \text{Re } \epsilon = 1 \quad \text{per } k \text{ fisso.}$$

Regimi di validità: frequenze non troppo piccole

On shell: $\epsilon(\omega) \mu(\omega) = n^2(\omega) = \frac{k^2}{\omega^2} \rightarrow$ per tornare nel regime approx duro tornare a $|k|^2 \ll 1 \Leftrightarrow (n(\omega))^2 \omega^2 \ll 1$

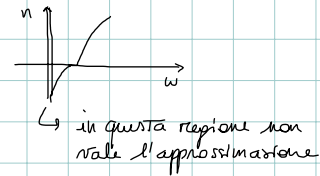
altrimenti duro conduttore $\epsilon_T(\omega, k) = n^2$ nella piena (forte) dipendenza da k



\hookrightarrow compensam. negativi per $\omega > 0$, già visti per i semiconduttori

Part III:

Cosa succede ai foti? Avviciniamo: $G_1(\omega, k) = \frac{i\omega B}{i\omega - Dk^2}$ con $|k|^2 = |n|^2 \omega^2 \ll 1$



(Nota: per $\frac{\omega}{T} \ll 1$ il regime di ω per cui $n_{0L} < 0$ è fuori da $|k|^2 \ll 1$)

Bisogna tener conto della forte non località (dispersione spaziale)

Nell'eq. di dispersione: $\epsilon \cdot \mu \rightarrow \epsilon_T$

$$\epsilon_T(\omega, k) = \frac{k^2}{\omega^2}$$

$$1 - \frac{A}{i\omega - Dn^2\omega^2} = n^2$$

2 soluzioni $n_{1,2} \rightarrow$ ALW

(Additional light wave)

Il verificarsi di questo fenomeno dipende dalla presenza almeno di un polo nella $G_1(\omega, k)$.

Se proviamo a risolvere le eq. x trovare n abbiamo:

2 soluzioni distinte



Linguaggio 1953 Pekar Crystal Optics

Bound state e.h \rightarrow eccitato da γ diventa eccitone; alla frequenza ω_0 di risonanza emette una seconda onda luminosa.

$$L_1 = \frac{i\omega B}{i\omega - Dk^2 + \omega_0 + i\Gamma(T, \Sigma)}$$

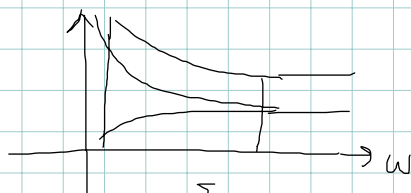
• Si può def. un indice di rif. efficace $n_{eff} = \frac{\epsilon_0 + n_1 n_2}{n_1 + n_2}$ s.t. soddisfa Fresnell e K.K. real.

* In generale n_{eff} non dà indicazioni sulla riflessione, ma seleziona quale indice si propaga \Rightarrow # luci = # poli (+1 nel caso trasverso)

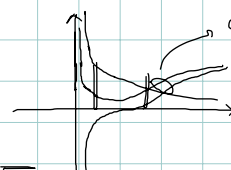
* Dipendenza dalla vita dell'eccitone $\Gamma(T, \Sigma)$

\Rightarrow grande $\Gamma \rightarrow$ da 2 a 1 onda.

succede che



$\frac{\Sigma}{T} < x_0$: 2 onde si propagano



qui si hanno 2 onde propaganti

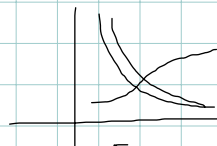
NOTA: $\Gamma =$ vita eccitone

Analogia: caso longitudinale carico

Qui, però ho $i\omega B$

$$G_L = \frac{i\omega B}{i\omega - Dk^2 + A\omega^2} + \frac{E}{k^2 - 3a}$$

[quindi 2 poli \Rightarrow 2 onde]



$\frac{\Sigma}{T} > x_0$: si propaga 1 onda

RIFRAZIONE ALW

Vettore di Poynting $S = \text{Re}(E \times B - \frac{\omega}{2} \frac{\partial \epsilon_{ij}}{\partial k} E_i^* E_j)$

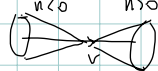
Se c'è grande dispersione ci sono correzioni in k in $S \Rightarrow$ non predicibilità del segno della rifrazione in assenza di un modello microscopico. [il caso precedente trasverso, carico, con l'espansione in k , è ancora predicibile.]

Impunità \rightarrow $+i\vec{k}$

- Poli non hydro: Stereometric materials
- non nel core
- 2+1 dimensions
- Superconductors
- Bipolar function in graphene

DISCUSSION

Cono di Cherenkov } ma allora:



ovvero sarebbe un segnale osservabile!

